

УДК 677.017.622:532.546.3

## ПОСТРОЕНИЕ МЕТОДА РАСЧЕТА ВОЗДУХОПРОНИЦАЕМОСТИ ВОЛОКНИСТОГО СЛОЯ С УЧЕТОМ ОРИЕНТАЦИИ ВОЛОКОН

*И.П. КОРНЮХИН, И.В. КОЗЫРЕВ, Т.А. КОРНЮХИНА, С.А. МИРОНОВ*

(Московский государственный текстильный университет им. А.Н. Косыгина)

Ранее в [1] было показано, что воздухопроницаемость волокнистого слоя зависит от его эффективной плотности и параметра ориентации. Сравнительно просто можно найти эту зависимость для разреженного (с позиций гидродинамики) волокнистого слоя. Согласно решению Ландау – Лифшица [2] ширина  $y$  следа (области в направлении течения  $x$ , где скорость заметно падает) за обтекаемым телом при ламинарном режиме определяется формулой:

$$y/x = 1/\sqrt{Re}, \quad (1)$$

где  $Re = wd/\nu$  – число Рейнольдса;  $w$  – скорость потока жидкости (газа), набегающего на тело;  $d$  – определяющий размер, диаметр цилиндра;  $\nu$  – кинематическая вязкость воздуха.

Если расстояние между волокнами в слое заметно превышает ширину следа, то слой можно считать разреженным, обтекание отдельных волокон в слое рассматривать как независимое, а суммарную силу, действующую на весь слой, можно определять суммированием по отдельным волокнам.

Дадим грубую оценку расстоянию между волокнами. Объем пористой среды, приходящийся на одно волокно, охарактеризуем как  $V_1 = V/N$ , где  $N$  – количество волокон в объеме  $V$ . В свою очередь, количество волокон оценим по объему  $V_f$  твердой фазы волокон  $N = V_f/V_0$ ,  $V_0$  – объем одного волокна. Учтем, что пористость определяется, как

$$\varepsilon = 1 - V_f/V. \quad (2)$$

Из приведенных формул найдем, что  $V_1/V_0 = (1 - \varepsilon)^{-1}$ . Предположим, что окружающий волокно объем  $V_1$  и само волокно имеют цилиндрическую форму с диаметрами  $D$  и  $d$  соответственно. При их одинаковой длине  $l$  найдем  $D^2/d^2 = (1 - \varepsilon)^{-1}$ . При пористости  $\varepsilon \geq 0,9$ , характерной для рассматриваемых случаев, найдем  $D/d > 3$ .

Принятое предположение, что окружающий волокно объем является цилиндрическим, ни в коей мере не следует рассматривать как строгое ограничение. Действительно, для извитого волокна та же самая связь между  $D$  и  $d$  будет проследиваться на бесконечно малом его участке.

При значениях чисел Рейнольдса  $Re \approx 1$ , характерных для рассматриваемой задачи расчета воздухопроницаемости, из формулы (1) следует оценка  $u/x \approx 1$ .

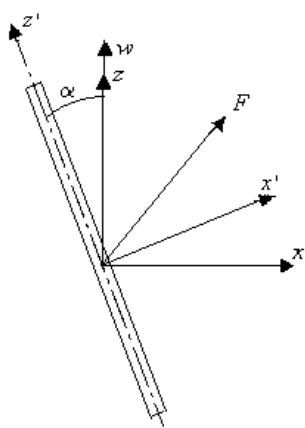


Рис. 1

Таким образом, при рассматриваемых значениях пористости влиянием следа за предшествующим волокном на закономерности обтекания следующего волокна можно пренебречь. В этих условиях под-

ход к расчету силы сопротивления волокнистого слоя, как суммы сил сопротивления, действующих на отдельные волокна, представляется оправданным.

Рассмотрим силу сопротивления, действующую на одиночный цилиндр в соответствии с подходом, представленным в [3]. На рис. 1 представлен отрезок волокна, наклоненный под углом  $\alpha$  к заданному направлению движения, определяемому вектором скорости  $w$  потока и осью  $z$ . Результирующая сила  $F$ , действующая на волокно в потоке, может быть представлена геометрической суммой двух сил – силы сопротивления вдоль волокна, действующая по оси  $z'$ , и поперечной, действующей по оси  $x'$  (рис. 1).

Согласно [3] силу  $F$ , действующую на цилиндр единичной длины, можно представить как:

$$F = \mu k w, \quad (3)$$

где  $k$  – диадик (трансляционный тензор II ранга) сопротивлений;  $\mu$  – динамическая вязкость.

Составляющую силы сопротивления  $F$  вдоль оси  $z$  можно выразить [3] через коэффициенты сопротивления  $K_{\parallel}$  и  $K_{\perp}$  при обтекании цилиндра в направлении вдоль и поперек образующей соответственно:

$$F_{\alpha} = \mu w (K_{\perp} \sin^2 \alpha + K_{\parallel} \cos^2 \alpha), \quad (4)$$

где в обозначении  $F_{\alpha}$  подчеркивается, что волокно ориентировано под углом  $\alpha$  к направлению движения.

Сила, действующая на волокна в направлении оси  $x$ , несущественна, так как она не дает вклада в сопротивление волокнистого слоя. К тому же благодаря симметрии углового распределения волокон суммарная сила, действующая на весь волокнистый слой в направлении оси  $x$ , будет пренебрежимо малой.

При поперечном обтекании круглого цилиндра неограниченным потоком жидкости при малых числах Рейнольдса в [4] получена формула для силы сопротивления, которая позволяет представить попе-

речную составляющую  $K_{\perp}$  в виде:

$$K_{\perp} = 8\pi\mu r / [\ln(2\varphi) + 0,5]. \quad (5)$$

Для представления продольной составляющей в [3] рекомендуется уравнение, полученное при продольном обтекании неограниченным потоком также при малых числах Рейнольдса тела типа иглы, тонкого веретена:

$$K_{\parallel} = 4\pi\mu r / [\ln(2\varphi) - 0,5]. \quad (6)$$

В этих формулах  $\varphi = \ell/(2r)$ ;  $\ell$  – длина цилиндра;  $r$  – радиус цилиндра.

Обе эти формулы получены путем решения уравнений Навье – Стокса при обтекании указанных тел неограниченным потоком жидкости (газа).

В [5] получены значения коэффициентов  $K_{\perp}$  и  $K_{\parallel}$  при обтекании шероховатого цилиндра в пористой среде. Для того, чтобы воспользоваться этими рекомендациями, необходимо знать характеристики шероховатости каждого цилиндра.

Реально поперечное сечение подавляющего большинства волокон отлично от круглого, а характеристики шероховатости неизвестны, что не позволяет использовать указанные рекомендации. В связи с этим в уравнение (4) вместо  $K_{\perp}$  и  $K_{\parallel}$  вводятся их

$$\ell_o = M/(\rho_f f_f); \quad \ell_o = \rho_s SL/(\rho_f f_f) \equiv \rho_s \pi D^2 L / (4\rho_f f_f) \equiv \rho_s D^2 L / (\rho_f d^2), \quad (9)$$

где  $M$  – масса волокна;  $\rho_f$  – плотность материала;  $f_f$  – площадь сечения волокна;  $\rho_s$  – эффективная плотность, масса материала в образце, отнесенная ко всему объему;  $L$  – длина канала, в котором располагается волокнистый образец;  $S$  – площадь сечения канала;  $D$  – диаметр канала;  $d$  – диаметр волокна.

Для определения силы, действующей на образец с произвольной ориентацией волокон, получим интегральное выражение:

$$F = \int_0^{\pi} F_{\alpha} d\alpha. \quad (10)$$

эмпирические аналоги  $\chi_{\perp}$  и  $\chi_{\parallel}$ , которые будут определены при сравнении расчетного уравнения с опытными данными.

Таким образом, для представления силы сопротивления, действующей на волокна общей длины  $\ell_o$ , ориентированные под углом  $\alpha$  к оси, вместо уравнения (4) воспользуемся уравнением

$$F_{\alpha} = 2\pi\mu\ell_o \ell(\alpha) w (\chi_{\perp} \sin^2 \alpha + \chi_{\parallel} \cos^2 \alpha). \quad (7)$$

Здесь  $\ell_o \ell(\alpha)$  – доля волокон, ориентированных под углом  $\alpha$  к оси  $z$  (рис.1). Множитель 2 появляется в формуле (7) в связи с тем, что учитывается ориентация волокон под углом  $\alpha$  и симметричных относительно оси участков волокон, ориентированных под углом  $\pi - \alpha$ .

Функция плотности углового распределения  $\ell(\alpha)$  описывается полученным ранее в [6] уравнением и воспроизводится ниже с формальной заменой параметра распределения  $\lambda$  параметром ориентации  $\gamma$ : ( $\gamma \equiv \lambda$ ):

$$\ell(\alpha) = \frac{1}{2} \frac{\gamma^2 \sin \alpha}{\sqrt{(\gamma^2 \sin^2 \alpha + \cos^2 \alpha)^3}}. \quad (8)$$

Общая длина волокон  $\ell_o$  рассчитывается по массе волокнистого образца:

Подстановка выражений (8) и (9) в формулу (7) с последующим интегрированием уравнения (10) согласно [7] дает уравнение для определения силы, действующей на волокна в направлении оси  $z$  (рис. 1) в зависимости от параметра ориентации:

$$F = 2\pi\mu w \frac{\rho_s SL}{\rho_f f_f} f(\gamma), \quad (11)$$

где  $f(\gamma)$  – функция, характеризующая ориентацию волокон, определяемую величиной вычисленного интеграла. При значениях  $\gamma > 1$ , характерных для случаев рас-

тяжения образца с отсутствием преимущественной ориентации в исходном состоя-

нии, функция  $f(\gamma)$  имеет вид

$$f(\gamma) \equiv \chi_{\perp} + (\chi_{\parallel} - \chi_{\perp}) \frac{\gamma^2}{(\sqrt{\gamma^2 - 1})^3} \left[ \sqrt{\gamma^2 - 1} - \arcsin \frac{\sqrt{\gamma^2 - 1}}{\gamma} \right], \quad (12)$$

при  $\gamma < 1$  (сжатие образца) вычисление ин-

теграла в уравнении (10) согласно [7] дает

$$f(\gamma) \equiv \chi_{\perp} + (\chi_{\parallel} - \chi_{\perp}) \frac{\gamma^2}{(\sqrt{1 - \gamma^2})^3} \left[ \sqrt{1 - \gamma^2} - \ln \frac{1 + \sqrt{1 - \gamma^2}}{\gamma} \right]. \quad (13)$$

Графики полученных функций  $f(\gamma)$  (12)

и (13) приведены на рис. 2 и 3.

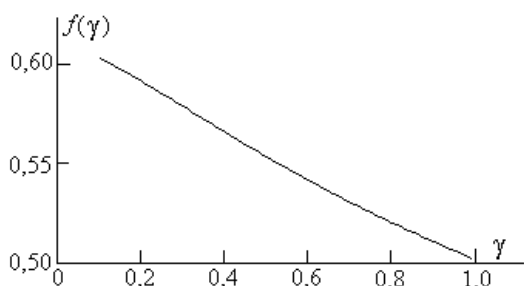


Рис. 2

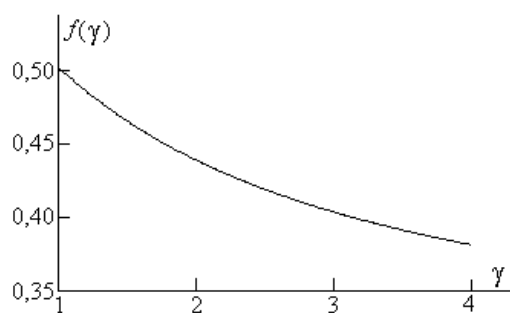


Рис. 3

Падение давления  $\Delta p$  при прохождении потока воздуха через канал площадью сечения  $S$  при силе сопротивления  $F$  определяется выражением

$$\Delta p = F/S. \quad (14)$$

Сделав подстановку формулы (14) в уравнение (11) и приведя его к безразмерной форме, получим

$$\frac{\Delta p \rho_f f_f}{L 2 \pi \mu \gamma w} = f(\gamma). \quad (15)$$

В уравнение (15) входит средняя скорость движения воздуха в межволоконном пространстве  $w$ , связанная со скоростью  $w_0$ , приведенной к полному сечению канала соотношением

$$w \varepsilon = w_0, \quad (16)$$

где  $\varepsilon$  – пористость материала.

Уравнение (16) неявно предполагает равенство доли сечения свободного для прохода воздуха величине пористости, характеризуемой как доля пустот в образце

$$\varepsilon = \varepsilon_v = \varepsilon_s, \quad (17)$$

где  $\varepsilon_v$  – объемная пористость, определенная формулой (2);  $\varepsilon_s$  – пористость в сечении канала.

Продemonстрируем справедливость уравнения (17). Покажем, что определенная формулой (2) объемная пористость преобразуется к виду  $\varepsilon_v = 1 - \rho_s/\rho_f$ .

В соответствии с формулой (9) представим общую длину волокон в виде  $\ell_o = L(1 - \varepsilon_v)D^2/d^2$ , где  $d$  – диаметр волокна. Общее число волокон (каждое длиной  $\ell$ ) при этом будет равно  $Z = \ell_o/\ell \equiv L(1 - \varepsilon_v)D^2/(\ell d^2)$ .

Рассмотрим произвольное положение

волокна длиной  $\ell$ , наклоненного к оси цилиндра под произвольным углом  $\alpha$  в канале цилиндрической формы. Проекция такого волокна на ось цилиндра равна  $\ell_1 = \ell \cos \alpha$ , а площадь его поперечного сечения плоскостью, перпендикулярной оси цилиндра, составит  $f_1 = f_f / \cos \alpha$ .

Мысленно представим цепочку, со-

$$F_f = \frac{nf_f}{\cos \alpha} = \frac{D^2(1-\varepsilon_V)\cos \alpha}{d^2} \frac{\pi d^2}{4 \cos \alpha} = \frac{\pi D^2}{4}(1-\varepsilon_V). \quad (18)$$

Учитывая определение  $\varepsilon_S$  как доли пустот в сечении пористого тела  $\varepsilon_S = (S - F_f)/S \equiv (\pi D^2 - 4F_f)/(\pi D^2)$  и используя соотношение (18), завершим доказательство равенства (17).

Коэффициент проницаемости  $k$  пористого тела связан с приведенной скоростью воздуха в канале и градиентом давления законом Дарси:

$$w_0 = \frac{k \Delta p}{\mu L}. \quad (19)$$

С учетом зависимостей (16), (17) и (19) выражение (15) примет следующий вид:

$$N = f(\gamma), \quad (20)$$

где безразмерный параметр  $N$ , характеризующий сопротивление проницаемости:

$$N = \frac{\rho_f f_f \varepsilon}{2\pi r_f k}. \quad (21)$$

Уравнение (20) с учетом определений (12) и (21) сопоставлено на рис. 4 с опытными данными, полученными в [1].

стоящую из одиночных волокон определенной ориентации, расположенной вдоль канала по длине  $L$ . Количество волокон в такой цепочке составит  $z = L/(\ell_1) \equiv L/(\ell \cos \alpha)$ . Таким образом, число волокон в поперечном сечении канала будет равно  $n = Z/z$ , а их суммарная площадь определится как  $F_f = nf_1 \equiv f_1 Z/z$ , или:

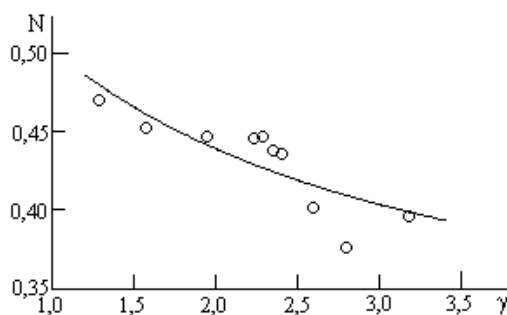


Рис. 4

Методом обобщенной линейной регрессии, реализованной в программе MathCAD, были найдены значения коэффициентов  $\chi_{\perp}$  и  $\chi_{\parallel}$ , которые оказались равными  $\chi_{\perp} = 0,610$  и  $\chi_{\parallel} = 0,284$ . Эти коэффициенты отличаются приблизительно в два раза. Заметим, что примерно такое же отношение характерно и для коэффициентов  $K_{\perp}$  и  $K_{\parallel}$ , определяемых формулами (5), (6) с учетом того, что  $\varphi \gg 1$ .

Кроме того, полученные в [5] решения уравнения Бринкмана для случая обтекания шероховатого цилиндра в пористой среде, дают значения коэффициентов сопротивления в направлениях, перпендикулярном и параллельном оси, также отличающихся в два раза. Эти факты представляют собой косвенное подтверждение надежности предложенного метода.

## ВЫВОДЫ

Разработан согласующийся с опытными данными метод расчета воздухопроницаемости слоя волокон в зависимости от его эффективной плотности и параметра ориентации.

## ЛИТЕРАТУРА

1. Корнюхин И.П. и др. // Изв. вузов. Технология текстильной промышленности. – 2006, №2. С.25...29.
2. Ландау Л.Д., Лифшиц Е.М. Гидродинамика. – М.: Наука, 1986.
3. Ханпель Дж., Бренер Г. Гидродинамика при

малых числах Рейнольдса. – М.: Мир, 1976.

4. Ламб Г. Гидродинамика. – М.: ОГИЗ, 1947.

5. Черняков А.Л., Кириш А.А. // Коллоидный журнал. – 2001. Т.63, № 4.

6. Kornoohin I.P., Kornoohina T.A. // Research Journal Textile and Apparel. – (Hong Kong), V.6, №2, 2002.

7. Прудников А.П., Брычков Ю.А., Маричев О.И. Интегралы и ряды. – М.: Наука, 1981.

Рекомендована кафедрой промышленной теплоэнергетики. Поступила 19.01.06.

---